

УДК 537.531 : 535.3

РЕЭМИССИОННЫЕ ПЕРЕХОДЫ В РЕНТГЕНОВСКИХ СПЕКТРАХ МОЛЕКУЛ

*A. B. Кондратенко, Л. Н. Мазалов,
К. М. Нейман и Б. А. Корнев*

Проведено теоретическое исследование резонансного несмешенного рассеяния рентгеновского излучения молекулами газа. В рамках метода Хартри—Фока—Рутана рассчитана вероятность таких процессов для ряда простых молекул. Показано, что это влияние носит довольно общий характер и объясняет большое число сателлитов в рентгеновских спектрах эмиссии молекул.

Наибольшую интенсивность в рентгеновских эмиссионных спектрах молекул имеют так называемые диаграммные линии. Они обусловлены переходами с занятых валентных уровней i на внутренние атомоподобные уровни k , ионизованные рентгеновским излучением. Эти линии несут большую информацию об электронной структуре молекулы и весьма плодотворно используются для исследования химической связи [1, 2]. Сателлиты в рентгеновских спектрах молекул объясняются различного рода многоэлектронными переходами и релятивистскими эффектами в случае тяжелых атомов [3]. Процессы, приводящие к появлению сателлитов, довольно сложны. Энергии и интенсивности рентгеновских сателлитов зависят от многих факторов, в связи с чем сателлиты представляются нам в настоящее время менее информативными, чем диаграммные линии. Существует, однако, весьма простой механизм, приводящий к появлению в рентгеновских спектрах молекул сателлитов, несущих непосредственную информацию о химической связи в молекуле: резонансное несмешенное рассеяние (реэмиссия). В этом процессе электрон под действием рентгеновского γ -кванта с частотой ω возбуждается с внутреннего уровня k на вакантный молекулярный уровень ν , затем возвращается на уровень k , испуская при этом γ -квант той же частоты ω .

Относительную интенсивность реэмиссионного перехода можно рассчитать по следующей формуле (ее вывод будет дан в п. 1):

$$\frac{I_{kv}^p}{I_{ki}^o} = K(g_i, g_\nu) \frac{(f_{\nu k}^1)^2}{\sum_s f_{sk}^1 |f_{ki}^1|}, \quad (1)$$

где I_{kv}^p и I_{ki}^o — интенсивность реэмиссии $k \rightarrow \nu \rightarrow k$ и эмиссии $i \rightarrow k$ соответственно, $K(g_i, g_\nu)$ — некоторая функция от кратностей вырождения орбиталей g_i и g_ν . Суммирование в уравнении (1) проводится по всем уровням непрерывного спектра энергий. Одноэлектронные силы осцилляторов f_{ki}^1 переходов $i \rightarrow k$ определены уравнением (всюду, если не оговорено особо, используется а. е.: $\hbar=m=e=1$)

$$f_{ki}^1 = \frac{2}{3} \frac{\omega_{ki}}{g_i} \sum_{m_i m_k} |\langle k | r | i \rangle|^2, \quad (2)$$

$$\omega_{ki} = \epsilon_k - \epsilon_i. \quad (3)$$

В уравнении (2) суммирование проводится по всем вырожденным состояниям орбиталей i и k с энергией ε_i и ε_k .

1. Резонансное рассеяние

Рентгеновский эмиссионный спектр возникает в результате резонансного рассеяния молекулой рентгеновского излучения. Рассеяние γ -кванта q , e , ω (импульс, поляризация и частота) электронной системы молекулы представляет собой поглощение начального γ -кванта с одновременным испусканием другого γ -кванта q' , e' , ω' . Частоты ω и ω' связаны законом сохранения энергии

$$\omega' - \omega = E_0 - E_f, \quad (4)$$

где E_0 , E_f — начальная и конечная энергии молекулы. Сечение рассматриваемого процесса описывается в дипольном приближении следующей формулой [1, 4]:

$$d\sigma_{f0}(\omega', \omega) = \alpha^4 \left| \sum_n \frac{(d_{fn} e'^*) (d_{n0} e)}{E_n - E_0 - \omega - i\Gamma_n/2} \right|^2 \omega \omega'^3 \delta(E_0 + \omega - E_f - \omega') d\omega', \quad (5)$$

где d — оператор дипольного момента молекулы; $d\omega'$ — элемент телесного угла для направления q' ; Γ_n — естественная ширина n -го состояния; $\alpha = -1/137$. Суммирование в (5) проводится по всем возможным состояниям молекулы, включая состояния непрерывного спектра. С помощью уравнения (5) после обычных выкладок нетрудно получить следующую формулу для энергии излучения $I'(\omega')$, рассеянного молекулой газа в 1 с,

$$I'(\omega') = \int_0^\infty I(\omega) \frac{\omega'}{\omega} \sum_f d\sigma_{f0} d\omega = \frac{\alpha^4}{G_0} \omega'^4 \left(\frac{2}{3} \right)^2 2\pi \times \\ \times \sum_f I(E_f + \omega' - E_0) \sum_{M_0} \sum_{M_n} \frac{|d_{fn}|^2 |d_{n0}|^2}{(E_n - E_f - \omega')^2 + \Gamma_n^2/4}, \quad (6)$$

где $I(\omega)$ — плотность потока энергии падающего излучения, G_0 — степень вырождения начального уровня, M_j — нумерует вырожденные состояния j -го уровня. Заметим, что при выводе уравнения (6) мы пренебрегли всеми интерференционными членами.

Несмешенное рассеяние. Рассмотрим несмешенное рассеяние ($0 \equiv f$) с частотой $\omega' \simeq E_n - E_f = E_n - E_0$, где n — некоторый дискретный уровень молекулы. В этом случае в сумме по n можно ограничиться одним членом

$$I_n^p(\omega') = \frac{\alpha^4 \omega'^4}{G_0} \left(\frac{2}{3} \right)^2 2\pi I(\omega') \sum_{M_0 M_f M_n} \frac{|d_{fn}|^2 |d_{n0}|^2}{(E_n - E_f - \omega')^2 + \Gamma_n^2/4}. \quad (7)$$

Интегральная интенсивность реэмиссии $0 \rightarrow n \rightarrow 0$ в случае K -спектров ($k \equiv 1s$) имеет следующий вид:

$$I_n^p = \frac{\alpha^4 \omega'^2}{\Gamma_n} (2\pi)^2 I(\omega') \frac{G_0}{G_n} (f_{n0})^2, \quad (8)$$

где полная сила осциллятора перехода $0 \rightarrow n$ определена обычным образом

$$f_{n0} = \frac{2}{3} \omega' \frac{1}{G_0} \sum_{M_0 M_n} |d_{n0}|^2. \quad (9)$$

Для молекул с полностью заполненными оболочками уравнение (8) в одноэлектронном приближении переходит в следующее ($0 \rightarrow n \rightarrow 0 \equiv k \rightarrow v \rightarrow k$):

$$I_{kv}^p = \frac{\alpha^4 \omega'^2}{\Gamma_{vk}} (2\pi)^2 I(\omega') \frac{8}{g_v} (f_{vk})^2, \quad (10)$$

где Γ_{vk} — естественная ширина рентгеновского возбужденного состояния vk (дырка на уровне k и возбужденный электрон на вакантной орбитали v).

Смешенное рассеяние. В рентгеновском диапазоне частот наибольший вклад в интенсивность смешенного рассеяния $I'(\omega')$ вносят одноэлектронные переходы: $k \rightarrow v$, $i \rightarrow k$. Для простоты ограничимся случаем K -спектров ($k = 1s$) молекул с полностью заполненными оболочками. В одноэлектронном приближении

$$E_n \simeq E_k + \varepsilon_v, \quad (11)$$

$$E_f \simeq E_i + \varepsilon_{vi}, \quad (12)$$

$$|\mathbf{d}_{n0}|^2 = 2 |\langle v | \mathbf{r} | k \rangle|^2, \quad (13)$$

$$|\mathbf{d}_{fn}|^2 = \begin{cases} 0, & \text{если } v \neq v', \\ |\langle k | \mathbf{r} | i \rangle|^2, & \text{если } v = v', \end{cases} \quad (14)$$

где E_j — полная энергия иона молекулы с дыркой на орбитали j (j^{-1}). С учетом (11)–(14) уравнение (6) переходит в следующее

$$I'(\omega') = 2\pi\alpha^4\omega'^4 \left(\frac{2}{3}\right)^2 \sum_{kiv} I(E_i + \varepsilon_v + \omega' - E_0) \frac{|\langle k | \mathbf{r} | i \rangle|^2 2 |\langle v | \mathbf{r} | k \rangle|^2}{(E_k - E_i - \omega')^2 + \Gamma_{vk}^2/4}. \quad (15)$$

Рассмотрим один эмиссионный переход K -спектра $i \rightarrow k$; его интенсивность

$$\begin{aligned} I_{ki}^e(\omega') &= 2\pi\alpha^4\omega'^4 \left(\frac{2}{3}\right)^2 \sum_{m_im_k} \frac{|\langle k | \mathbf{r} | i \rangle|^2}{(E_k - E_i - \omega')^2 + \Gamma_{vk}^2/4} \times \\ &\quad \times \sum_v I(E_i + \varepsilon_v + \omega' - E_0) |\langle v | \mathbf{r} | k \rangle|^2. \end{aligned} \quad (16)$$

Пусть $I(\omega)$ — медленно меняющаяся функция, а величина $|\langle v | \mathbf{r} | k \rangle|^2$ быстро уменьшается с ростом ε_v . В этом случае

$$\frac{2}{3} \omega' \frac{1}{2} \sum_{m_im_k} |\langle v | \mathbf{r} | k \rangle|^2 \simeq \frac{2}{3} \omega_{vk} \frac{1}{2} \sum_{m_im_k} |\langle v | \mathbf{r} | k \rangle|^2 = f_{vk}^1, \quad (17)$$

и формула для расчета интегральной интенсивности эмиссионного перехода $i \rightarrow k$ приобретает следующий вид

$$I_{ki}^e \simeq \frac{\alpha^4}{\Gamma_k} (2\pi)^2 \omega'^2 \overline{I(\omega)} \sum_v f_{vk}^1 g_{vi} |f_{ki}^1|, \quad (18)$$

где $\overline{I(\omega)}$ — некоторое среднее значение $I(\omega)$, Γ_k — ширина состояния k^{-1} , а суммирование проводится по всему непрерывному спектру. Уравнение (18) удобно тем, что в нем сумму по состояниям непрерывного спектра легко вычислить с помощью приближенного правила суммы [5]

$$\sum_j f_{jk}^1 = 1, \quad (19)$$

где суммирование проводится по всем состояниям непрерывного и дискретного спектра энергий, исключая k -е.

2. Детали расчетов

Ниже будут обсуждаться результаты расчетов интенсивности рентгеновской реэмиссии по уравнению (1) в молекулах CO, NO и O₂. Волновые функции этих молекул получались методом Хартри—Фока—Рутана с помощью программы IBMOL-5 [6] в двухэкспонентном базисе функций гауссового типа [7] со следующей контрактацией: s (3, 4, 2, 1) и p (4, 1). При расчете одноэлектронных сил осцилляторов переходов между дискретными уровнями f_{ki}^1 использовались занятые орбитали основного состояния

молекулы и вакантные соответствующего ионного состояния, в которых учтена релаксация электронной системы на рентгеновскую дырку [8]. Рассчитанные силы осцилляторов K -переходов на вакантные орбитали в молекуле CO приведены в нашей ранней работе [9]. Следует отметить, что уравнение (1) соответствует эксперименту, в котором зависимостью интенсивности падающего излучения от частоты можно пренебречь. Этому требованию отвечают все исследуемые в работе спектры. Заметим, что при выводе уравнения (16) мы сделали замену $\omega' \rightarrow \omega_{vk} < \omega'$, переоценив тем самым величину R_{ki} . Иначе говоря, уравнение (1) дает нижнюю границу для относительной интенсивности реэмиссии.

Очевидно, что в приближении вертикальных переходов энергия реэмиссии $k \rightarrow v \rightarrow k$ совпадает с энергией аборбционного перехода $k \rightarrow v$, для молекул с полностью занятymi оболочками последняя всегда больше энергии любого эмиссионного перехода $i \rightarrow k$. Отсюда следует, что в таких молекулах реэмиссионные сателлиты являются коротковолновыми.

3. K_α -спектры эмиссии молекул CO, NO и O₂

Молекула CO имеет полностью занятые оболочки; в этом случае функция

$$K(g_i, g_v) = \frac{8}{g_v g_i}. \quad (20)$$

Рентгеновские спектры молекул CO неоднократно использовались в литературе [10–12]. На рис. 1 изображен CK_α -спектр эмиссии CO [10]; вертикальными прямыми на нем представлены результаты расчета относительных интенсивностей переходов. Интерпретация спектра, за исключением коротковолнового сателлита Q , не вызывает трудностей. Максимум Q отнесен авторами [10] к реэмиссии $C1s \rightarrow 2\pi \rightarrow C1s$. Энергия этого максимума (287.44 эВ) практически совпадает с энергией перехода $C1s \rightarrow 2\pi$ (287.28 эВ) в CK_α -спектре энергетических потерь [13]. Расчет тонкой колебательной структуры линии Q [14] подтвердил сделанное предположение. Однако решающим доказательством реальности такого процесса является его большая вероятность. Из представленного на рис. 1 расчета видно, что интенсивность реэмиссии $C1s \rightarrow 2\pi \rightarrow C1s$ сравнима с интенсивностью эмиссионных переходов. Рассчитанная вероятность реэмиссии $O1s \rightarrow 2\pi \rightarrow O1s$ в молекуле CO примерно в 20 раз меньше вероятности эмиссии $5\sigma \rightarrow O1s$, поэтому соответствующий сателлит отсутствует в экспериментальном OK_α -спектре молекулы CO [11].

Наличие неспаренных электронов в радикалах NO (один электрон на орбитали 2π) и O₂ (два электрона на орбитали $1\pi_g$) приводит к тому, что в формуле (18) g_i заменяется на число электронов на орбитали i . Формула (8) для расчета реэмиссии остается в неизменном виде.

NK_α -спектр радикала NO исследовался методом электронного удара в [10]. Для объяснения структуры 2–3–4 этого спектра нами предлагается использовать механизм реэмиссии $N1s \rightarrow 2\pi$ (состояния $^2\Sigma^+$, $^2\Delta$ и $^2\Sigma^-$) $\rightarrow N1s$. Экспериментальные энергии максимумов 2, 3, 4 (401.4, 401.0, 399.2 эВ) близки к энергии линии $N1s \rightarrow 2\pi$ в экспериментальном NK -спектре поглощения радикала NO (399.7 эВ) [15]. Рассчитанные интенсивности реэмиссии $N1s \rightarrow 2\pi \rightarrow N1s$ удовлетворяют следующим соотношениям:

$$\frac{I_{N1s2\pi(^2\Sigma^+)}^p : I_{N1s2\pi(^2\Delta)}^p : I_{N1s2\pi(^2\Sigma^-)}^p}{I_{N1s2\pi}^p} = 1 : 2 : 9,$$

$$\frac{I_{N1s2\pi}^p}{I_{N1s2\pi}^p} = \frac{I_{N1s2\pi(^2\Sigma^+)}^p + I_{N1s2\pi(^2\Delta)}^p + I_{N1s2\pi(^2\Sigma^-)}^p}{I_{N1s2\pi}^p} = 0.24.$$

Рассчитанная интенсивность реэмиссии $O1s \rightarrow 2\pi \rightarrow O1s$ незначительна: $I_{O1s2\pi}^p / I_{O1s2\pi}^p = 0.06$. К сожалению, в [10] не приведены относитель-

ные интенсивности линий NK_{α} -спектра, а высокоразрешенный OK_{α} -спектр радикала NO отсутствует в литературе.

На рис. 2 приведен OK_{α} -спектр радикала O_2 , полученный в [16] методом электронного удара. Там же вертикальными прямыми изображены рассчитанные относительные интенсивности линий. Энергия максимума З (531.6 эВ) близка к энергии линии $O1s \rightarrow 1\pi_g$ (530.8 эВ) в K -спектре

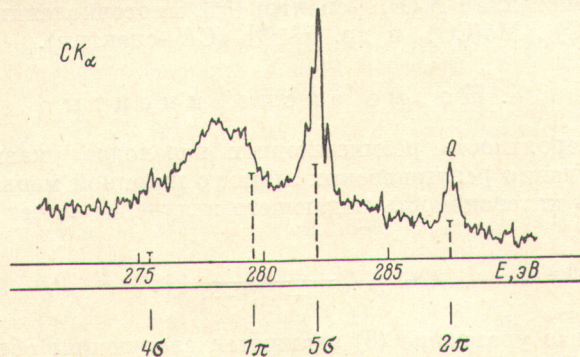


Рис. 1. CK_{α} -спектр эмиссии молекулы CO [10].

энергетических потерь [15]. Кроме того, рассчитанная вероятность реэмиссии $1\sigma_u \rightarrow 1\pi_g$ (состояние $^3\Pi_u$) $\rightarrow 1\sigma_u$ сравнима с вероятностью эмиссии $1\sigma_u \rightarrow 1\pi_g$. Все это дает нам основание отнести максимум З к реэмиссии $1\sigma_u \rightarrow 1\pi_g \rightarrow 1\sigma_u$.

В работе [15] уже было отмечено, что в радикале NO экспериментальная энергия абсорбционного перехода $N1s \rightarrow 2\pi$ меньше эксперименталь-

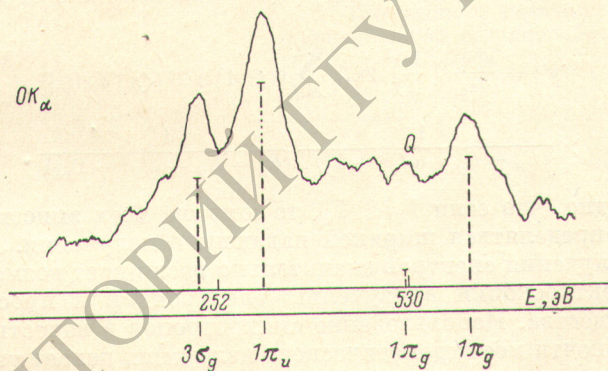


Рис. 2. OK_{α} -спектр эмиссии радикала O_2 [16].

ной энергии эмиссионного перехода $2\pi \rightarrow N1s$. Такую же ситуацию мы имеем в случае радикала O_2 : экспериментальная энергия перехода $O1s \rightarrow 1\pi_g$ равна 530.8 эВ [15], а эмиссии $1\pi_g \rightarrow O1s \approx 532.0$ эВ [16]. Это приводит к тому, что реэмиссионные спутники в радикалах NO и O_2 являются длинноволновыми, т. е. находятся в области диаграммных линий.

Как видно из уравнения (1), необходимым условием проявления реэмиссии в рентгеновских спектрах является большая вероятность перехода электрона на вакантную орбиталь. Так, например, в молекуле CO экспериментальное значение $f_{2\pi}c_{1s}=0.167$ [17] (наш расчет: 0.159 [8]). Okazывается [18], что такая ситуация довольно часто имеет место в молекулах, поэтому следует ожидать, что явление реэмиссии будет присуще многим соединениям. Действительно, в CK_{α} -спектрах молекул SCO и CS_2 также существуют интенсивные реэмиссионные линии [18]. В K_{α} -спектрах эмис-

ции молекул CO_2 [1, 4], BF_3 [19], H_2O [20], NH_3 и N_2O [21] есть коротковолновые сателлиты, реэмиссионное происхождение которых вполне вероятно. Благодаря своему локализованному характеру вакантные молекулярные орбитали довольно часто изменяются незначительно при переходе вещества в твердое состояние. Отсюда следует, что реэмиссия с таких уровней (рентгеновский экситон) будет иметь место и в твердых телах, как например, в кристалле BN (BK_α -спектр) [22], многочисленных комплексах $\text{Ni}(\text{CO})_4$, $\text{W}(\text{CO})_6$, $\text{Mo}(\text{CO})_6$ и др. [23–24] (CK_α -спектры).

4. Новые эксперименты

Большая вероятность реэмиссионных переходов указывает на возможность получения рентгеновских линий с шириной меньшей естественной [25]. Пусть интенсивность падающего излучения имеет вид узкой линии, например,

$$I(\omega) = I_0 \frac{1}{(\omega - \omega_0)^2 + \Gamma_1^2/4}. \quad (21)$$

В этом случае уравнение (6) запишется следующим образом:

$$\begin{aligned} I'(\omega') = & \frac{\alpha^4 \omega'^4}{G_0} \left(\frac{2}{3}\right)^2 2\pi I_0 \sum_f \frac{1}{(E_f + \omega' - E_0 - \omega_0)^2 + \Gamma_1^2/4} \times \\ & \times \sum_{M_0} \sum_n \frac{|\langle f | d | n \rangle|^2 |\langle n | d | 0 \rangle|^2}{(E_n - E_f - \omega')^2 + \Gamma_n^2/4}. \end{aligned} \quad (22)$$

Как видно из (22), в общем случае интенсивность рассеянного излучения $I'(\omega')$ незначительна. Пусть теперь $\omega_0 \approx E_n - E_0$, где n — некоторый дискретный изолированный уровень молекулы, для которого значительна вероятность перехода $0 \rightarrow n$. Тогда в сумме по n можно ограничиться одним членом

$$\begin{aligned} I'(\omega') = & \frac{\alpha^4 \omega'^4}{G_0} \left(\frac{2}{3}\right)^2 2\pi I_0 \sum_f |\langle f | d | n \rangle|^2 |\langle n | d | 0 \rangle|^2 \times \\ & \times \frac{1}{(E_n - E_f - \omega')^2 + \Gamma_1^2/4} \frac{1}{(E_n - E_f - \omega')^2 + \Gamma_n^2/4}. \end{aligned} \quad (23)$$

Отсюда видно, что если $\Gamma_1 \ll \Gamma_n$, то ширина всех эмиссионных линий $n \rightarrow f$ будет определяться шириной падающего излучения. Ясно, что такой способ получения спектров значительно расширяет возможность рентгеновской спектроскопии в изучении электронной и пространственной структуры вещества. Использование синхротронов в качестве источников интенсивного почти монохроматического излучения делает указанную теоретическую возможность вполне реальной.

Кроме того, применение достаточно узких ($\Gamma_1 \approx 1-3$ эВ) возбуждающих линий с переменной частотой ω_0 позволило бы решить ряд интересных задач, связанных с различного рода сателлитами. В частности, для доказательства реэмиссионной природы исследованных в настоящей работе сателлитов: если величина ω_0 не равна энергии аборбционного перехода $k \rightarrow \nu$, эти сателлиты не проявляются в соответствующем эмиссионном спектре.

Литература

- [1] Л. Н. Мазалов, В. Д. Юматов, В. В. Муратанов, Ф. Х. Гельмуханов, Г. Н. Доленко, Е. С. Глускин, А. В. Кондратенко. Рентгеновские спектры молекул. «Наука», Новосибирск, 1977.
- [2] А. П. Садовский. Автореф. докт. дисс., ИИХ СО АН СССР, Новосибирск, 1975.
- [3] В. Ф. Демехин. Автореф. докт. дисс., РГУ, Ростов-на-Дону, 1974.
- [4] В. В. Берестецкий, Е. М. Лифшиц, Л. Г. Питаевский. Релятивистская квантовая теория, ч. 1. «Наука», М., 1963.

- [5] У. Фано, Дж. Купер. Спектральные распределения сил осцилляторов в атомах. «Наука», М., 1972.
- [6] E. Clementi, J. W. Mehl. IBMOL-5 program. Quantum mechanical concepts and algorithms. RJ 883. IBM, San Jose, 1971.
- [7] L. C. Snyder, H. Basch. Molecular wave functions and properties. Wiley, New York, 1972.
- [8] А. В. Кондратенко, Л. Н. Мазалов, Ф. Х. Гельмуханов, В. И. Авдеев, Е. А. Сапрыкина. Ж. структ. химии, 18, 546, 1977.
- [9] А. В. Кондратенко, Л. Н. Мазалов, К. М. Нейман. Ж. структ. химии, 20, 203, 1979.
- [10] L. O. Werme, J. Nordgren, H. Ågren, C. Nordling, K. Siegbahn. X-ray emission spectra of small molecules. UUIP 876. Uppsala, 1974.
- [11] R. A. Mattson, R. C. Ehler. Adv. in X-ray analys., 9, 201, 1966.
- [12] R. A. Mattson, R. C. Ehler. J. Chem. Phys., 48, 5465, 1968.
- [13] G. R. Wright, C. E. Brion, M. J. Van der Wiel. J. Electr. Spectr. Relat. Phenom., 1, 457, 1973.
- [14] А. В. Кондратенко, Л. Н. Мазалов, Ф. Х. Гельмуханов, В. И. Авдеев, Е. А. Сапрыкина. Ж. структ. химии, 18, 622, 1977.
- [15] Е. С. Глускин, А. П. Садовский, Л. Н. Мазалов. Ж. структ. химии, 14, 739, 1973.
- [16] J. Nordgren, H. Ågren, C. Nordling, K. Siegbahn. J. Phys. B, 10, L511, 1977.
- [17] R. B. Kay, Ph. E. Van der Leeuw, M. J. Van der Wiel. J. Phys. B, 10, 2513, 1977.
- [18] А. В. Кондратенко. Автореф. канд. дисс., ИНХ СО АН СССР, Новосибирск, 1979.
- [19] А. П. Садовский, Л. И. Насонова. Ж. структ. химии, 18, 673, 1977.
- [20] J. Nordgren, L. O. Werme, H. Ågren, C. Nordling, K. Siegbahn. J. Phys. B, 8, L18, 1975.
- [21] J. Nordgren, H. Ågren, L. O. Werme, C. Nordling, S. Siegbahn. J. Phys. B, 9, 295, 1976.
- [22] В. А. Фомичев. ФТТ, 9, 3167, 1967.
- [23] А. П. Садовский, Э. А. Кравцова. Коорд. химия, 1979.
- [24] Э. А. Кравцова. Автореф. канд. дисс., ИНХ СО АН СССР, Новосибирск, 1976.
- [25] F. K. Gel'mukhanov, L. N. Mazalov, A. V. Kondratenko. Chem. Phys. Lett., 46, 133, 1977.

Поступило в Редакцию 29 мая 1979 г.
В окончательной редакции 20 декабря 1979 г.